



بررسی مقایسه ای ویژگی های فیزیکو شیمیایی هیدرولیزهای پروتئینی سارکوپلاسمیک و میوفیبریلار گربه ماهی (*Pangasius sutchi*) توسط هیدرولیز آنزیمی

*لیلا نجفیان^۱

۱- استادیار گروه علوم و صنایع غذایی، واحد ساری، دانشگاه آزاد اسلامی، ساری، ایران

اطلاعات مقاله

چکیده

پژوهش حاضر با هدف بررسی اثر هیدرولیز آنزیمی پروتئین های سارکوپلاستیک و میوفیبریلار گربه ماهی (*Pangasius sutchi*) patin بر ترکیبات شیمیایی، حلالیت، درجه هیدرولیز (DH)، محتوای پپتید و ترکیبات اسید آمینه مورد ارزیابی قرار گرفت و وزن مولکولی آنها انجام شد. هیدرولیزهای پروتئین سارکوپلاسمیک ماهی (SPHs) و هیدرولیز پروتئین های میوفیبریلار (MPHs) با استفاده از سه نوع پروتئاز: پاپائین، آکالاز و فلاورزایم تولید شدند و خواص فیزیکو شیمیایی پروتئین ها و وزن مولکولی مورد بررسی قرار گرفت. نتایج نشان داد که نوع پروتئاز بر درجه هیدرولیز (DH) تأثیر می گذارد که در آن تمام آنزیم ها در ساعت اول سرعت هیدرولیز بالایی را نشان می دهند و سپس به تدریج کاهش می بابند. نوع آنزیم و میزان DH تا حد زیادی بر ترکیب باقی مانده اسید آمینه و وزن مولکولی هیدرولیزهای پروتئین تأثیر گذاشت. ترکیب اسیدهای آمینه مختلف پروتئین ها و هیدرولیزهای آنها مشاهده شد. محتوای پپتید و پروتئین محلول هیدرولیزها با افزایش زمان انکوباسیون به طور قابل توجهی افزایش یافت. میزان بالای اسیدهای آمینه آبگریز و آروماتیک در SPH و MPH می تواند فعالیت های بیولوژیکی پپتیدها را افزایش دهد. نتایج نشان می دهد که هر دو هیدرولیزهای پروتئینی سارکوپلاسمیک و میوفیبریلار مشتق شده از ماهی patin به دلیل وزن مولکولی پایین و اسیدهای آبگریز و آروماتیک بالا ممکن است در مواد غذایی عملکردی و مکمل ها استفاده شوند.

تاریخ های مقاله :

تاریخ دریافت: ۱۴۰۱ / ۰۵ / ۱۴

تاریخ پذیرش: ۱۴۰۱ / ۰۷ / ۱۷

کلمات کلیدی:

پروتئین های سارکوپلاسمی و میوفیبریلار، ترکیبات اسید آمینه، حلالیت، وزن مولکولی، هیدرولیز آنزیمی.

DOI: 10.22034/FSCT.19.130.213

DOR: 20.1001.1.20088787.1401.19.130.18.7

* مسئول مکاتبات:

najafian_5828@yahoo.com

۱- مقدمه

ترجمی پاپائین Phe-X-COOH و Lys-Arg- در اسید آمینه پایانی است [۱۳]. پاپائین دارای ویژگی گسترهای است و پیوندهای پیتیدی اسیدهای آمینه اساسی، لوسین یا گلیسین را می‌شکند. همچنین استرها و آمیدها را هیدرولیز می‌کند. Flavourzyme® نام تجاری مخلوطی از آنزیم‌های قارچی Adler- Nissen (*Aspergillus oryzae*) است. طبق گفته *Aspergillus oryzae*، *Aspergillus oryzae* مخلوطی از آسپارتیک پروتئاز، pH متالو پروتئاز، سرین پروتئاز و کربوکسی پپتیداز با محدوده pH ۴-۸ تولید می‌کند و ویژگی بسیار وسیعی را نشان می‌دهد. بهینه ۴-۸ تولید می‌کند و ویژگی بسیار وسیعی را نشان می‌دهد. Novozymes (از Flavourzyme®) یک اندوپیتیداز و آگزوپیتیداز پیچیده است که در صنایع غذایی برای هیدرولیز گسترهای پروتئین و فرآیند تلخ‌زدایی استفاده می‌شود. آلکالاز یک اندوپیتیداز سرین است که توسط *Basillus licheniformis* با محدوده pH ۷-۱۱ تولید می‌شود که به عنوان یک پروتئیناز قلیایی می‌باشد. این آنزیم به طور مشترک حضور باقیمانده سرین و هیستیدین در محلهای فعلانش دارد.

Pangasius sutchi یک ماهی آب شیرین محبوب است که به عنوان غذا در مالزی استفاده می‌شود [۱۵]. گربه ماهی پانگاسیوس با پروتئین بالا ارزش زیادی در فرآوری موادغذایی دارد. هدف از مطالعه حاضر بررسی اثر هیدرولیز آنزیمی *P. sutchi* بر پروتئین‌های سارکوپلاسمی و میوفیبریلار از ماهی DH، محتوای پپتید و ترکیب اسید آمینه و وزن مولکولی آنها بود.

۲- مواد و روش‌ها

۱-۱- مواد

Bacillus Alcalase® 2.4 L (پاپائین از لاتکس پاپایا و *licheniformis* Flavourzyme®)، *Aspergillus oryzae* (پروتئاز 500L LAPU/g)، Novozymes® (از سیگما آلدريچ (آمریکا) خریداری شد. استانداردهای اسید آمینه از Pierce (Rockford, II, USA) و استانداردهای پروتئین از Bio-Rad خریداری شد. سایر مواد شیمیایی درجه آنالیتیکی نیز از سیگما آلدريچ خریداری شده است.

فراتر از ارزش غذایی شناخته شده ماهی، پروتئین‌های رژیم غذایی نقش مهمی در بهبود سلامت انسان دارند [۱]. هیدرولیز آنزیمی برای اصلاح خواص فیزیکوشیمیایی و حسی مناسب پروتئین‌ها بدون ایجاد اثرات منفی بر کیفیت تغذیه‌ای یا عملکردی مفید است [۲]. هیدرولیز آنزیمی جزئی یا گستردۀ بسته به آنزیم مورد استفاده و درجه هیدرولیز (DH) به دست آمد، می‌تواند تغییرات مهمی مانند کاهش اندازه مولکولی و افزایش سطح آبگریز را ایجاد کند [۳]. هیدرولیز پروتئین خواص عملکردی را با افزایش حلایت و خواص سطحی، که خواص مهم در کاربردهای محصولات غذایی هستند، بهبود می‌بخشد [۴] و [۵]. آبگریزی و بار اسیدهای آمینه که ساختار پروتئین اولیه را تشکیل می‌دهند تأثیر زیادی بر حلایت دارند، اما ترکیب پروتئین و خواص سطحی به همان اندازه مهم هستند [۶] و [۷]. علاوه بر این، پروتئین‌های بزرگ‌تر معمولاً حلایت کمتری نسبت به پروتئین‌های کوچک‌تر دارند، زیرا کاهش آنتروپی در هنگام تنشیزی برای اولیه کمتر است [۸]. شرایط فیزیکوشیمیایی محیط واکنش، مانند زمان، دما، pH و نسبت آنزیم به سوبسترا باید برای فعالیت آنزیم تنظیم شود. در کنترل واکنش هیدرولیز، لازم است درجه هیدرولیز (DH) در طول واکنش کنترل شود. نوع آنزیم مورد استفاده در هیدرولیز پروتئین آنزیمی بسیار مهم است زیرا الگوهای برش پیوندهای پیتیدی را دیکته می‌کند [۹]. علاوه بر این، ویژگی آنزیم مورد استفاده و درجه هیدرولیز تا حد زیادی بر ترکیب اسید آمینه هیدرولیزهای پروتئین، وزن مولکولی و در نتیجه فعالیت‌های بیولوژیکی تأثیر می‌گذارد [۱۰]. در هیدرولیز پروتئین ماهی، از آنزیم‌های پروتئولیتیک گیاهان، میکروب‌ها و حیوانات می‌توان برای تولید پیتیدهای زیست فعل استفاده کرد. دو زیر گروه تشکیل شده عبارتند از: پیتیدازها (آگزوپیتیدازها) که اسیدهای آمینه یا دی پیتیدها را به تدریج از انتهای بخش پایانی پروتئین‌ها جدا می‌کنند، و پروتئینازها (اندوپیتیدازها) که پیوندهای درون زنجیره پیتیدی را هیدرولیز می‌کنند و به پیوندهای پیتیدی پایانی حمله نمی‌کنند [۱۱]. نمونه‌ای از پروتئیناز با منشاء گیاهی پاپائین (از لاتکس پاپایا) است. پاپائین یک سیستین اندوپیتیداز با pH ۵-۹ است [۱۲]. ویژگی

سانتریفیوژ شد تا پروتئین‌های میوفیبریلار بازیابی شود. سپس این ایزوله پروتئین برای هیدرولیز آنزیم مورد استفاده قرار گرفت.

۴-۲- تهیه هیدرولیز پروتئین ماهی (FPH)

P. sutchi پروتئین‌های سارکوپلاسمیک و میوفیبریلار لیوفیلیزه شده *P. sutchi* و به پودر تبدیل شدن، با نسبت ۱:۱۰۰ (وزنی/حجمی) در آب دیونیزه به حالت تعليق درآمدند و با ۰/۱ مولار هیدرولاید و دمای هر آنزیم به pH بهینه تنظیم شدند. پایان pH ۷ ۶۰ درجه سانتی گراد، آکالاز pH ۶۰ درجه سانتی گراد) و فلورورزیم pH ۵۰ درجه سانتی گراد) به مدت ۳۰، ۶۰ و ۹۰ دقیقه. در قدرت یونی کمتر از ۱۲ میلی مولار و pH خشی، بیش از ۸۰ درصد پروتئین‌های میوفیبریلار حل شدند. حرارت دادن در دمای بیش از ۷۰ درجه سانتی گراد برای حفظ حلالیت پروتئین‌ها مورد نیاز بود. زمان انتخاب شده بر اساس اجرای آزمایشی برای دستیابی به حداقل درجه هیدرولیز بود. طبق تحقیقات دیگر، دما و pH برای هر آنزیم انتخاب شد [۱۹]. نسبت هر آنزیم به بخش‌های پروتئینی سارکوپلاسمیک و میوفیبریلار ۱:۱۰۰ (وزنی/وزنی) بود. هیدرولیز آنزیمی پس از جوشاندن به مدت ۵ دقیقه متوقف شد. هیدرولیز در سرعت g × ۳۰۰۰ به مدت ۲۰ دقیقه سانتریفیوژ شد. مواد رویی لیوفیلیز شدند و در دمای زیر ۱۸ درجه سانتی گراد نگهداری شدند.

۵-۲- آنالیز ترکیبات شیمیایی

اندازگیری ویژگی‌های شیمیایی ماهی و عصاره هیدرولیز پروتئینی آن مانند رطوبت، حاکستر، چربی و پروتئین توسط استاندارد AOAC [۲۰] اندازگیری شد.

۶-۲- ترکیبات اسید آمینه

هیدرولیز اسیدی، هیدرولیز پرفرمیک اسید و قلیایی هیدرولیز Waters پروتئینی ماهی با استفاده از تحلیلگر اسید آمینه AccQ.Tag (Waters Corporation, Irland) انجام شد.

۶-۱- هیدرولیز اسیدی

هیدرولیز اسیدی بر اساس روش Alaiz و همکاران [۲۱] اندازه گیری شد. ۰/۱ گرم از نمونه‌های خشک شده در معرض ۵ میلی لیتر اسید هیدروکلریک ۶ مولار در 110 ± 24 به مدت

۲-۲- نمونه برداری

(*Pangasius sutchi*) patin یک فارم مجاور در شهر کجنگ، مالزی خردیاری شد. فیله‌های تازه همانطور که توسط Mat Jais و همکارانش توضیح دادند، تهیه شدند [۱۶]. فیله‌های ماهی با برش طولی ماهی در امتداد ستون فقرات به دست آمد. فیله کردن به صورت دستی انجام شد و فیله‌ها در جعبه یخ نگهداری شدند. سپس فیله‌ها چندین بار در زیر آب شسته شدند تا خون، کثیفی و لجن از بین بروند. فیله‌ها چرخ شده و تا استفاده بعدی در کیسه پلی اتیلن در دمای ۱۸ درجه سانتی گراد نگهداری شدند.

۳-۲- استخراج پروتئین‌های سارکوپلاسمی و میوفیبریلار

پروتئین‌های سارکوپلاسمی بر اساس روش Molina و Toldrá [۱۷] با رقیق کردن گوشت چرخ کرده به نسبت ۱:۱۰ (w/v) با بافر فسفات ۲۰ میلی مولار (PH ۷/۵) استخراج شدند، سپس به مدت ۳ دقیقه همگن و سپس در سرعت ۱۳۰۰۰ g × به مدت ۲۰ دقیقه در دمای ۴ درجه سانتی گراد سانتریفیوژ شدند. پس از سانتریفیوژ، مایع رویی از طریق صافی غشایی با اندازه منافذ ۰/۲۲ میکرومتر فیلتر شد. سپس این ایزوله پروتئین برای هیدرولیز آنزیمی مورد استفاده قرار گرفت.

ایزوله‌های پروتئین میوفیبریلار با روش حلالیت قلیایی گزارش شده توسط Hultin و Kelleher [۱۸] به دست آمد. بر اساس این روش، عضله خرد شده با نه قسمت آب سرد (۶ درجه سانتی گراد) دیيونیزه شده برای هر قسمت عضله، با استفاده از Biohomogenizer با سرعت بالا به مدت ۱ دقیقه، مخلوط و همگن می‌شود. در مرحله انحلال قلیایی، pH نمونه همگن شده با استفاده از ۲ مولار NaOH روی ۱۱ تنظیم شد و به مدت ۳۰ دقیقه در دمای ۴ درجه سانتی گراد انکوبه شد. سپس مخلوط در ۱۰۰۰۰ g × به مدت ۲۰ دقیقه در دمای ۴ درجه سانتی گراد سانتریفیوژ شد. مایع رویی حاوی پروتئین‌های محلول، جدا شده و از طریق یک پارچه دولایه فیلتر شد و pH این مایع رویی با استفاده از ۲ مولار هیدرولاید روی ۵/۵ تنظیم شد تا یک رسوب پروتئینی تشکیل شود. سپس مخلوط تنظیم شده با pH در ۱۰۰۰۰ g × به مدت ۲۰ دقیقه در دمای ۴ درجه سانتی گراد

مخلوط با استفاده از اسید هیدروکلریک تا ۴/۵ تنظیم شد و با آب دیونیزه شده به حجم نهایی ۱۰۰ میلی لیتر رسید. هیدرولیزها از طریق کاغذ (Whatman No.1) فیلتر شده و سپس با استفاده از فیلتر غشایی سلولز استات ۰/۲ میکرومتر فیلتر شد.

۷-۲- اندازه گیری درجه هیدرولیز

درجه هیدرولیز (DH) با توجه به روش Hoyle و Merritt [۲۴] ارزیابی شد. مقدار ۲۰ میلی لیتری هیدرولیز پروتئینی (با غلظت ۰/۱ میلی گرم بر میلی لیتر) به ۲۰ میلی لیتر TCA درصد (وزنی/حجمی) اضافه شد تا یک ماده محلول مشکل از ۱۰ درصد TCA تولید شود. به هر مخلوط به مدت ۳۰ دقیقه در ۷۸۰۰ دمای اتاق اجازه واکنش داده شد و سپس سانتریفیوژ شد (۷ g × به مدت ۱۵ دقیقه). درجه هیدرولیز (DH) با استفاده از رابطه زیر محاسبه شد:

$$DH (\%) = \left(\frac{\text{soluble nitrogen in the 10\% TCA sample}}{\text{Total nitrogen in the sample}} \right) \times 100$$

۷-۲- بازده

بازده با نسبت وزن پروتئین سارکوپلاسمیک یا میوفیبریلار و وزن کل ماهی تازه تعیین شد [۲۴]. بازده به دست آمده به صورت زیر محاسبه شد:

$$Yield (\%) = \left(\frac{\text{Weight of sarcoplasmic or myofibrillar protein (g)}}{\text{Wet weight of fresh fish meat (g)}} \right) \times 100$$

۷-۲- حلالیت

محتویات محلول پروتئین های سارکوپلاسمیک و میوفیبریلار با روش Folin-Lowry [۲۵] تعیین شد. جذب در ۷۵۰ نانومتر Model UV-160A, Shimadzu, Japan (آسپکتروفتومتر) اندازه گیری شد. محتویات پروتئین محلول با استفاده از آلبومین سرم گاوی به عنوان استاندارد اندازه گیری شد.

۱۰-۲- محتوی پپتید

محتویات پپتیدی هیدرولیزها با روش Church و همکاران با برخی تغییرات با استفاده از روش اسپکتروفتومتری ۰- phthaldialdehyde (OPA) اندازه گیری شد [۲۶]. جذب در طول موج ۳۴۰ نانومتر با اسپکتروفتومتر اندازه گیری شد. تریپتوفان کاژئین در بافر فسفات (pH = ۷/۴) به عنوان استاندارد برای

ساعت برای هیدرولیز پروتئین قرار گرفت. پس از خنک کردن، ۱۰ میلی لیتر اسید α-آمینوبوتیریک اسید (AABA) به نمونه های هیدرولیز اضافه شد. محلول ها از طریق یک فیلتر غشائی استات سلولز ۰/۲ میکرومتر فیلتر شدند. یک میلی لیتر محلول فیلتر شده در یک لوله میکرو سانتریفیوژ جمع آوری شد.

۱۰-۲-۱- اکسیداسیون اسید پرفرمیک و هیدرولیز اسیدی

سیستئین و متیونین در حین هیدرولیز اسیدی، بخصوص در حضور کربوهیدرات، بثبات هستند. محتوای کل سیستئین و متیونین را می توان با اکسیداسیون پروتئین با اسید پرفرمیک تعیین کرد که هر دو فرم را به اسید سیستئینک و متیونین به متیونین سولفون تبدیل می کند [۲۲]. از هر نمونه، ۰/۱ گرم درون ویال ها وزن شدند. بطری ها به مدت ۳۰ دقیقه در حمام یخ قرار گرفتند و به ۴ میلی لیتر محلول سرد اسید پرفرمیک (مخلوط ۱۰ درصد پراکسید هیدروژن و ۹ حجم از اسید فرمیک ۸۰ درصد) بهمراه (۱) اضافه شد و در دمای ۱۵ درجه سانتی گراد برای ۱۶ ساعت نگهداری شد تا منجمد شود. پس از برداشتن از فریزر، ۵ میلی لیتر اسید برمیک (HBr) اضافه شد. این مخلوط به مدت ۳۰ دقیقه در حمام یخ قرار داده شد و سپس با استفاده از یک روتاری اوپرатор (R-200 سوئیس) در خلاء، در دمای ۶۵ درجه سانتیگراد خشک شد. نمونه های خشک شده با محلول های آمیلایل (گل) HCl هیدرولیز شدند، همانطور که در بخش هیدرولیز اسیدی توضیح داده شد.

۱۰-۲-۲- هیدرولیز بازی

تریپتوفان در هیدرولیز اسیدی تخریب می شود. هیدرولیز قلیایی با هیدروکسید سدیم (NaOH) یا هیدروکسید لیتیوم (LiOH) بخصوص در هیدرولیز مواد غذایی و خوارکی مورد استفاده قرار گرفته است. برای تعیین مقدار تریپتوفان با استفاده از HPLC روش توصیف شده توسط Thiansilakul و همکاران [۲۳] هیدرولیز قلیایی انجام شد. برای هر نمونه ۰/۲ گرم با ۱۵ میلی لیتر هیدروکسید لیتیوم ۴/۳ نرمال یک آبه برای هیدرولیز، در یک لوله آزمایش بسته با گاز نیتروژن به مدت ۱ دقیقه قبل از قرار دادن در آون در دمای ۱۲۰ درجه سانتیگراد به مدت ۱۶ ساعت جریان داده شد. هر هیدرولیز به یک بطری حجمی منتقل شد و سپس ۹ میلی لیتر اسید هیدروکلریک ۶ مولار اضافه شد. pH

دالتون)، β -گالاكتوزیداز (۱۱۶/۳ کیلو دالتون)، فسفوریلаз b (۹۷/۴ کیلو دالتون)، آلبومین سرم گاوی (۶۶/۲ کیلو دالتون)، اووالبومین (۴۵/۰ کیلو دالتون)، کرینیک انیدراز (۳۱/۰). بازدارنده تریپسین (۲۱/۵ کیلو دالتون) و لیزوزیم (۱۴/۴ کیلو دالتون).

۱۲-۲- آنالیز آماری

تجزیه و تحلیل داده‌ها، با توجه به نرمال بودن داده‌ها و همگنی (One-way ANOVA) استفاده از روش آنالیز واریانس یک طرفه (One-way ANOVA) استفاده شد. برای مقایسه میانگین داده‌ها از آزمون دانکن در سطح ۵ درصد استفاده شد. تمام داده‌ها به صورت میانگین گزارش شد و ارزیابی‌ها در ۳ تکرار صورت پذیرفت. از نرم افزار (SPSS version 18) برای آنالیز داده‌ها و Excel برای رسم نمودارها استفاده گردید.

۳- نتایج و بحث

۱-۳- ترکیب شیمیایی

ترکیبات شیمیایی گوشت ماهی تازه، هیدرولیزهای پروتئین سارکوپلاسمیک (SPHs) و هیدرولیزهای پروتئین میوفیبریلار (MPHs) و پروتئین‌های ماهی هیدرولیز نشده که همگی لیوپلیزه شده‌اند در جدول ۱ نشان داده شده است. ترکیبات تقریبی نشان می‌دهد که محتوای رطوبت ($1/15 \pm 78/42$ درصد) و چربی ($0/98 \pm 5/01$ درصد) گوشت پاتین بالا است در حالی که محتوای خاکستر ($1/16 \pm 1/1$ درصد) و پروتئین ($1/22 \pm 15/23$ درصد) کم است. علاوه بر این، خاکستر، رطوبت، چربی و محتوای پروتئین‌های سارکوپلاسمی و میوفیبریلار به ترتیب، $1/10 \pm 0/08$ ، $0/73 \pm 0/53$ و $0/29 \pm 0/08$ ٪، $0/89 \pm 0/84$ و $0/47 \pm 0/40$ ٪، $0/1 \pm 0/08$ و $0/80 \pm 0/76$ ٪، $0/1 \pm 0/08$ و $0/89 \pm 0/84$ ٪، $0/1 \pm 0/08$ و $0/80 \pm 0/76$ ٪ می‌باشد.

همه MPH‌ها حاوی محتوای پروتئین بالا از $82/60$ ٪ تا $87/39$ ٪ ($p < 0.05$)، در حالی که SPH‌ها دارای مقدار قابل توجهی پایین تر از $83/20$ ٪ تا $79/40$ ٪ ($p < 0.05$) بودند. این نتایج مشابه گزارش‌های قبلی است که مقادیر پروتئین را از 62% تا $90/2$ ٪ در بازه زمانی ارائه می‌دهد [۲۹]. همانطور که در جدول ۱ نشان داده شده است، محتوای پروتئین‌های سارکوپلاسمیک و

تعیین کمیت محتوای پروتئین استفاده شد.

۱۱-۲- تهیه فرآکسیون‌های SDS-PAGE برای سارکوپلاسمیک و میوفیبریلار

فرآکسیون‌های پروتئینی سارکوپلاسمی و میوفیبریلار جدا شده و هیدرولیزهای آنها برای آنالیز الکتروفورز پلی آکریل آمید ژل دودسیل سولفات سدیم (SDS-PAGE) طبق روشی که توسط Huang و همکارانش توضیح داده شده است، آماده شدند [۲۷]. نمونه‌ها با 30 میلی لیتر بافر (125 میلی مولار Tris، 20 ٪ گلیسرول) مخلوط شدند و در حمام آب 50 درجه سانتی‌گراد به مدت 20 دقیقه حرارت داده شدند و سپس با سرعت $g \times 16000$ به مدت 30 دقیقه در دمای 4 درجه Lowry سانتی‌گراد سانتریفیوژ شدند. غلظت پروتئین با روش MCE [۲۵] تعیین و با استفاده از بافر تیمار حاوی 10 درصد $0/001$ درصد برموفتل بلو به 4 میلی‌گرم در میلی لیتر رقیق شد. نمونه‌ها به خوبی مخلوط شده و در دمای 50 درجه سانتی‌گراد به مدت 10 دقیقه حرارت داده شدند و سپس در دمای -80 درجه سانتی‌گراد برای SDS-PAGE بعدی نگهداری شدند.

۱-۱۱-۲- تجزیه و تحلیل SDS-PAGE

تجزیه و تحلیل SDS-PAGE با توجه به تکنیک توسعه یافته توسط Von Jagow و Schagger [۲۸] انجام شد. 40 و 80 میکروگرم در هر چاه از نمونه‌های هیدرولیز پروتئین سارکوپلاسمی و میوفیبریلار روی ژل 10 و 20 درصد بارگذاری و با استفاده از بافر ناپیوسته تریس-تریسین، حاوی بافر آند 1 M Tris، 1 M Tricine، 1% SDS، pH 8.2) (۱ M Tris, 2 و بافر کاتد 1 M Tricine, 1% SDS، pH 8.2) 25 میلی آمپر/ژل و یک بافر ثابت ولتاژ 150 و 90 به ترتیب برای 2 و 4 ساعت اجرا شد. پروتئین با رنگ‌آمیزی $0/02$ ٪ (وزنی/حجمی) Coomassie blue G250 و رنگ‌زدایی با چندین بار خیساندن در متانول 40 ٪ حجمی/حجمی- اسید استیک 10 ٪ حجمی/حجمی تا زمانی که یک پس‌زمینه شفاف ایجاد شود، مشاهده شد. استاندارد پروتئین مورد استفاده برای به دست آوردن منحنی استاندارد عبارتند از: میوزین ($200/0$ کیلو

منجر به افزایش فراکشن پروتئین نامحلول می شود. علاوه بر این، برخی از پروتئین ها در طول سانتریفیوژ قبل از خشک کردن انجمادی با کاهش آشکار محتوای پروتئین هیدرولیزهای لیوفیلیزه شده نیز از بین رفتند که به سطح خاکستر بالاتر در نمونه ها مربوط می شود [۳۰].

میوفیبریلار بیشتر از SPH ها بود. به طور کلی، محتوای پروتئین پس از هیدرولیز کاهش یافت که تفاوت در محتوای پروتئین به دلیل تفاوت متناظر در نیتروژن غیر پروتئینی (NPN) بود. پپتیدهای تولید شده می توانند با پروتئین هیدرولیز نشده از طریق فعل و انفعالات آبگریز برهمکنش داشته باشند که

Table 1 Chemical compositions of fresh patin fish meat, sarcoplasmic and myofibrillar proteins and their hydrolysates as affected by papain, alcalase and flavourzyme (%)

Sample	Moisture	Protein	Ash	Lipid
Fresh Patin Fish Meat	78.42 ± 1.15	15.23 ± 1.22	1.10 ± 0.16	5.01 ± 0.98
Sarcoplasmic protein	3.24 ± 0.11 ^c	86.20 ± 1.66 ^a	2.80 ± 0.98 ^c	0.93 ± 0.14
Papain-SPH*	4.46 ± 0.13 ^b	83.20 ± 1.72 ^b	3.83 ± 1.28 ^b	N/S
Alcalase-SPH	4.62 ± 0.10 ^{ab}	81.60 ± 1.23 ^{bc}	3.90 ± 1.47 ^b	N/S
Flavourzyme-SPH	4.83 ± 0.12 ^a	79.40 ± 1.02 ^c	4.30 ± 1.39 ^a	N/S
Myofibrillar protein	3.53 ± 0.33 ^a	93.46 ± 0.89 ^a	1.10 ± 0.08 ^c	0.29 ± 0.08
Papain-MPH*	2.14 ± 0.10 ^c	87.39 ± 1.15 ^b	2.40 ± 0.16 ^b	N/S
Alcalase-MPH	2.45 ± 0.08 ^b	84.75 ± 1.03 ^{bc}	2.80 ± 0.08 ^b	N/S
Flavourzyme-MPH	2.75 ± 0.12 ^b	82.60 ± 1.23 ^c	3.40 ± 0.24 ^a	N/S

^{a-c} Mean of % in the same column without a common superscript letter differ significantly ($p < 0.05$)

- Values shown are the mean ± standard deviation of three replicates

*SPH: Sarcoplasmic protein hydrolyzed with papain, Alcalase and flavourzyme

*MPH: Myofibrillar protein hydrolyzed with papain, Alcalase and flavourzyme

ناراد اما به طور قابل توجهی کمتر از فلاورزایم-SPH و فلاورزایم-MPH است. خاکستر بالاتر SPH ها ممکن است به افزودن بافر فسفات برای استخراج پروتئین های سارکوپلاسمیک افزوده شود. Choi و همکاران [۳۵] روند مشابهی از نسبت داده شود. برای هیدرولیزهای پروتئین کروآکر کوچک بود. با این حال، محتوای خاکستر بالاتر در هیدرولیز عضله واپتینگ اقینوس آرام (۱۱/۷ - ۱۱/۹٪) و ساردينلا (۱۲/۱ - ۱۴/۸٪) گزارش شد [۳۶].

۲-۳ بازده

بازده به دست آمده برای پروتئین های سارکوپلاسمیک و میوفیبریلار از ماهیچه ماهی پاتین به ترتیب ۶/۲۲ و ۱۲/۴۷ درصد بود. بین عملکرد پروتئین های سارکوپلاسمیک و میوفیبریلار تفاوت معنی داری وجود داشت ($p < 0.05$). بازده پروتئین میوفیبریلار ۲ برابر بیشتر از پروتئین سارکوپلاسمیک بود. Rebeca و همکاران [۳۷] روند مشابهی از عملکرد را گزارش کرده اند که برای پروتئین ماهی بین ۱۳ تا ۱۵ درصد بود.

تمام هیدرولیزها دارای محتوای رطوبت و چربی کم بودند که به طور قابل توجهی به پایداری آنها در طول ذخیره سازی کمک می کند. پروتئین های سارکوپلاسمیک و میوفیبریلار به ترتیب دارای مقدار چربی کم ۹۳/۴۶ ± ۰/۰۸ درصد و ۰/۲۹ ± ۰/۰۸ درصد بودند و نتایج نشان داد که در هر دو SPH و MPH هیچ محتوای چربی قابل تشخیصی مشاهده نشدند. سطح چربی پایین ممکن است به دلیل فرآیند استخراج باشد، زیرا لیپیدها به احتمال زیاد از بخش پروتئین نامحلول جدا شده از مایع رویی در سایر سانتریفیوژ حذف می شوند. علاوه بر این، محتوای چربی در سایر گونه های ماهی بسیار کم گزارش شده است [۳۱ و ۳۲]. نتیجه مشابهی از محتوای کم لیپید در محدوده ۰-۰/۰۸٪ در FPH از عضله ماهی واپتینگ اقینوس آرام گزارش شد [۳۳]. این نتایج مشابه نتایج سایر مطالعات منتشر شده در مورد هیدرولیز پروتئین ماهی است [۳۴].

محتوای خاکستر در پروتئین میوفیبریلار و MPH ها (از ۰/۰۸ ± ۰/۱٪ تا ۰/۲۴ ± ۳/۴٪) کمتر از مقادیر تعیین شده برای پروتئین سارکوپلاسمیک و SPH ها (از ۰/۹۸ ± ۴/۳٪ تا ۲/۸۰ ± ۰/۹٪) بود (۰/۰ ± ۰/۳٪). محتوای خاکستر پاپایین-SPH و پاپایین-MPH تفاوت قابل توجهی با آکالاز-SPH و آکالاز-MPH

همانطور که نتیجه نشان داد، پاپائین-MPH محتوای اسیدهای آمینه ضروری (۴۹/۰۱٪) بیشتری نسبت به آلکالاز-MPH (۴۸/۳۰٪) و فلاورزایم-MPH (۴۸/۰۶٪) داشت، در حالی که آلکالاز-SPH (۵۰/۳۱٪) مقدار بیشتری از آمینو اسیدهای SPH ضروری نسبت به پاپائین-SPH (۴۹/۶۸٪) و فلاورزایم-SPH (۴۹/۱۳٪) را نشان داد. همانطور که در جدول ۲ نشان داده شده است، برای SPH ها، آلکالاز-SPH بالاترین اسیدهای آمینه آروماتیک و آبگریز Val, Leu, Ile, Tyr, Trp, His, Lys, Pro, Phe و آروماتیک و آبگریز (p < 0.05). در حالی که برای MPH ها، پاپائین MPH دارای بالاترین اسیدهای آمینه آروماتیک و آبگریز (p < 0.05). اگرچه، برای SPH ها، محتوای اسید آمینه آبگریز Met از پاپائین SPH و برای Ala و Lys از آلکالاز-SPH بالاترین بود MPH

۳-۳- ترکیب اسید آمینه پروتئین های سارکوپلاسمیک و میوفیبریلار و هیدرولیزهای آنها

ترکیب اسیدهای آمینه پروتئین های سارکوپلاسمیک و میوفیبریلار و هیدرولیزهای آنها با استفاده از پروتازها در جدول ۲ خلاصه شده است. اسیدهای آمینه اصلی گلوتامیک اسید (۱۸/۵۲٪) از کل اسیدهای آمینه (در بخش فلاورزایم-MPH و بعد از آن، اسید آسپارتیک (۱۱/۱۹٪ درصد) در پروتئین سارکوپلاسمیک بدون تیمار آنزیمی و لیزین (۱۰/۸۹٪ درصد) در آلکالاز-SPH بودند. ترکیب اسیدهای آمینه مختلف در پروتئین سارکوپلاسمیک و میوفیبریلار و هیدرولیزهای آنها مشاهده شد. پروتئین سارکوپلاسمیک محتوای بالاتری از اسیدهای آمینه ضروری (Lys, Val, His) و (Phe) نسبت به پروتئین میوفیبریلار (P<0.05) در صورت عدم تیمار آنزیمی نشان داد (جدول ۲).

Table 2 Amino acid composition of sarcoplasmic and myofibrillar proteins of *p.sutchi* and their hydrolysates using proteases

Amino Acides %	Sarcoplasmic Protein	Papain-SPH	Alcalase-SPH	Flavourzyme-SPH	Myofibrillar Protein	Papain-MPH	Alcalase-MPH	Flavourzyme-MPH
Aspartic Acid	11.19±0.07 ^a	11.15±0.12 ^a	11.13±0.09 ^a	11.13±0.10 ^a	10.17±0.16 ^b	10.22±0.17 ^b	10.32±0.14 ^b	10.15±0.12 ^b
Serine	4.04±0.11 ^a	4.21±0.08 ^a	4.11±0.03 ^a	4.20±0.11 ^a	4.18±0.11 ^a	4.24±0.18 ^a	4.20±0.09 ^a	4.14±0.15 ^a
Glutamic Acid	10.16±0.16 ^d	10.57±0.07 ^d	10.23±0.09 ^d	10.50±0.13 ^d	15.99±0.22 ^c	16.12±0.30 ^c	17.21±0.29 ^b	18.02±0.24 ^a
Glycine	6.98±0.03 ^b	6.99±0.11 ^b	7.06±0.06 ^b	7.54±0.10 ^a	3.56±0.14 ^c	3.57±0.17 ^c	3.43±0.24 ^c	3.30±0.12 ^c
Histidine*	2.92±0.21 ^b	3.41±0.14 ^a	3.57±0.04 ^a	3.35±0.09 ^a	2.37±0.16 ^c	2.61±0.20 ^b	2.48±0.19 ^c	2.26±0.12 ^c
Arginine	4.03±0.11 ^d	4.04±0.06 ^d	4.15±0.11 ^d	4.10±0.07 ^d	4.88±0.26 ^a	4.80±0.18 ^b	4.46±0.23 ^{bc}	4.49±0.25 ^{bc}
Threonine*	5.42±0.11 ^c	5.52±0.07 ^{bc}	5.81±0.11 ^{ac}	5.71±0.13 ^{bc}	6.26±0.82 ^b	6.49±0.18 ^a	6.18±0.25 ^{ab}	6.26±0.15 ^{ab}
Alanine	5.72±0.15 ^a	5.75±0.05 ^a	5.50±0.26 ^a	6.29±0.03 ^a	5.36±0.88 ^a	5.48±0.26 ^a	6.00±0.10 ^a	5.52±0.23 ^a
Proline	3.99±0.19 ^a	3.20±0.09 ^b	3.14±0.07 ^{bc}	3.04±0.10 ^{bd}	2.99±0.64 ^{bd}	3.05±0.12 ^{bd}	2.54±0.22 ^{ad}	2.49±0.17 ^d
Tyrosine	2.51±0.12 ^b	2.52±0.20 ^b	2.54±0.36 ^b	2.42±0.08 ^b	3.49±0.28 ^a	2.79±0.13 ^b	2.46±0.13 ^b	2.44±0.17 ^b
Valine*	5.27±0.08 ^a	5.48±0.07 ^a	5.50±0.08 ^a	5.36±0.13 ^a	4.77±0.02 ^b	4.73±0.14 ^b	4.68±0.15 ^b	4.68±0.19 ^b
Methionine*	4.98±0.11 ^{bc}	4.60±0.15 ^c	4.01±0.12 ^d	4.52±0.09 ^{ad}	5.43±0.57 ^a	5.40±0.23 ^{ab}	5.45±0.31 ^{ab}	5.68±0.11 ^a
Lysine*	10.68±0.06 ^{ab}	10.73±0.06 ^{ab}	10.89±0.05 ^a	10.47±0.15 ^{dc}	9.34±0.66 ^d	9.9±0.11 ^c	10.25±0.17 ^{bc}	10.37±0.13 ^{dc}
Isoleucine*	4.64±0.13 ^{dc}	4.69±0.04 ^{ab}	4.73±0.02 ^a	4.22±0.08 ^c	4.32±0.42 ^{dc}	4.33±0.11 ^{dc}	4.35±0.10 ^{bc}	4.26±0.19 ^c
Leucine*	7.38±0.06 ^{ad}	7.44±0.04 ^{cd}	7.48±0.06 ^{bd}	7.33±0.11 ^d	7.86±0.27 ^{bd}	7.88±0.18 ^{bd}	8.06±0.12 ^d	7.84±0.11 ^{bd}
Phenylalanine*	5.12±0.08 ^a	5.14±0.06 ^a	5.27±0.05 ^a	5.13±0.08 ^a	3.63±0.29 ^b	3.26±0.11 ^c	2.87±0.13 ^d	2.87±0.12 ^d
Cysteine	2.29±0.09 ^a	1.92±0.07 ^b	1.81±0.14 ^{bc}	1.98±0.13 ^b	1.56±0.15 ^{ab}	1.60±0.17 ^{cd}	1.30±0.07 ^e	1.49±0.12 ^{de}
Tryptophan*	2.65±0.11 ^d	2.67±0.03 ^d	3.05±0.07 ^c	3.04±0.015 ^c	3.84±0.17 ^b	4.41±0.10 ^a	3.98±0.12 ^b	3.84±0.18 ^b
TEAA ¹	49.06	49.68	50.31	49.13	47.82	49.01	48.30	48.04

- Values shown are the mean ± standard deviation of three replicates

* Essential amino acid

¹Total essential amino acid

تولید هیدرولیز با محتوای اسید آمینه آبگریز بالا می شود. آلکالاز پیوند پیتیدی اسید آمینه آبگریز یا آروماتیک مانند Leu, Trp,

بنابراین، با توجه به آنالیز اسید آمینه می توان دریافت که هیدرولیز پروتئین سارکوپلاسمیک با استفاده از آلکالاز باعث

۳ و ۴ نشان داده شده است. درجه هیدرولیز به نوع آنزیم (پاپائین، آکالاز و فلاورزایم) و زمان واکنش بستگی دارد. نتایج هیدرولیز سریعتر پروتئین سارکوپلاسمیک نسبت به پروتئین میوفیریلار با پاپائین، آکالاز و فلاورزایم را نشان داد. به دلیل هیدرولیز سریعتر، هیدرولیز آنزیمی پروتئین سارکوپلاسمی با پروتئازها در طول ۶۰ دقیقه انجام شد، در حالی که هیدرولیز پروتئین میوفیریلار با همان پروتئازها ۱۲۰ دقیقه طول کشید. هیدرولیز پروتئین های سارکوپلاسمیک patin با استفاده از پاپائین، آکالاز و فلاورزایم، با سرعت بالایی از هیدرولیز در طول ساعت اول انجام شد و پس از آن نرخ هیدرولیز به تدریج کاهش یافت (جدول ۳).

Val و Pro را تجزیه می کند [۳۸ و ۳۹]. علاوه بر این، پاپائین یک پروتئاز است، که عمدتاً با قیماندهای آبگریز یا آروماتیک را در سوبسترا نشان می دهد [۴۰]. مقادیر بالای آمینو اسیدهای آبگریز و آروماتیک مانند Val، Leu، Phe و Tyr در پاپائین-MPH می تواند فعالیت های بیولوژیکی پیتیدها را افزایش دهد.

۴-۳- درجه هیدرولیز، پروتئین محلول و محتوای

پیتید

اثر زمان بر درجه هیدرولیز (DH)، پروتئین محلول و محتوای پیتید پروتئین سارکوپلاسمیک و میوفیریلار استخراج شده از *P. sutchi* هیدرولیز شده با پاپائین، آکالاز و فلاورزایم در جدول

Table 3 The effect of time on degree of hydrolysate (DH), soluble protein and peptide content of sarcoplasmic protein

Samples	Times of incubation (min)	DH (%)	Protein solubility (mg/g)	Peptide content (mg/g)
Sarcoplamic Protein		-	38.4 ± 2.13 ^m	18.8 ± 1.31 ⁱ
Papain-SPH	30	62.60 ± 2.75 ^{ef}	123.7 ± 4.49 ^j	179.0 ± 1.47 ^f
	60	82.40 ± 1.82 ^a	363.0 ± 3.74 ^a	188.0 ± 1.22 ^d
	90	75.23 ± 2.17 ^c	336.0 ± 1.63 ^b	194.4 ± 1.23 ^c
	120	73.53 ± 2.01 ^c	312.3 ± 2.05 ^d	197.7 ± 1.39 ^b
Alcalase-SPH	30	60.63 ± 2.71 ^f	114.7 ± 1.69 ^k	194.4 ± 1.55 ^c
	60	79.80 ± 0.89 ^b	319.0 ± 1.63 ^c	198.1 ± 1.06 ^b
	90	74.50 ± 1.28 ^c	305.3 ± 2.49 ^e	200.0 ± 1.64 ^b
	120	73.16 ± 1.06 ^c	276.3 ± 2.49 ^g	204.4 ± 1.31 ^a
Flavourzyme-SPH	30	59.70 ± 2.59 ^f	108.0 ± 2.16 ^l	163.6 ± 1.71 ^h
	60	77.30 ± 1.18 ^b	285.0 ± 0.81 ^f	171.2 ± 0.98 ^g
	90	73.20 ± 1.74 ^c	259.3 ± 2.62 ^h	179.8 ± 0.98 ^f
	120	71.83 ± 1.82 ^d	231.0 ± 1.63 ⁱ	184.1 ± 1.39 ^e

^{a-m} Mean of % in the same column without a common superscript letter differ significantly ($p<0.05$).

- Values shown are the mean ± standard deviation of three replicates

Table 4 The effect of time on degree of hydrolysis (DH), soluble protein and peptide content of myofibrillar protein

Samples	Times of incubation (min)	DH (%)	Protein solubility (mg/g)	Peptide content (mg/g)
Myofibrillar Protein		-	82.83 ± 2.16 ^l	85.4 ± 1.47 ^k
Papain-MPH	30	46.16 ± 1.41 ^g	342.3 ± 1.47 ⁱ	245.2 ± 0.98 ^d
	60	65.83 ± 1.28 ^d	455.8 ± 1.69 ^f	261.4 ± 1.14 ^c
	90	88.53 ± 0.25 ^a	496.4 ± 1.47 ^d	279.2 ± 1.47 ^b
	120	89.17 ± 0.31 ^a	559.8 ± 2.33 ^a	299.1 ± 1.71 ^a
Alcalase-MPH	30	40.60 ± 0.43 ^h	325.4 ± 1.96 ^j	206.0 ± 1.22 ^h
	60	60.33 ± 0.50 ^e	441.1 ± 1.71 ^g	224.0 ± 1.55 ^f
	90	82.18 ± 1.37 ^b	482.3 ± 1.10 ^e	240.0 ± 1.55 ^e
	120	83.60 ± 0.50 ^b	536.0 ± 2.04 ^b	263.8 ± 1.47 ^c
Flavourzyme-MPH	30	36.53 ± 0.70 ⁱ	310.5 ± 1.31 ^k	188.0 ± 1.02 ^j
	60	52.80 ± 1.36 ^f	424.4 ± 1.18 ^h	196.8 ± 1.22 ⁱ
	90	72.80 ± 0.86 ^c	456.6 ± 1.75 ^f	210.2 ± 0.98 ^g
	120	74.16 ± 0.53 ^c	502.1 ± 1.22 ^c	224.2 ± 1.47 ^f

^{a-c} Mean of % in the same column without a common superscript letter differ significantly ($p<0.05$).

- Values shown are the mean ± standard deviation of three replicates

حالیت هیدرولیزهای پروتئین سارکوپلاسمیک و میوفیبریلار به طور معنی داری متفاوت بود ($p < 0.05$). حالیت هیدرولیزهای پروتئین سارکوپلاسمیک و میوفیبریلار با پروتئازها با افزایش زمان هیدرولیز از $38/4$ به 363 میلی گرم بر گرم و از $82/83$ به $559/8$ میلی گرم بر گرم، به ترتیب افزایش یافت (جدول ۳). حالیت بالای SPH ها و MPH ها احتمالاً به دلیل کاهش ساختار ثانویه و تولید پیتیدهای با وزن مولکولی کم با هیدرولیز است که انتظار می رود با قیمانده های قطبی بیشتری نسبت به پروتئین های دست نخورده داشته باشند و توانایی تشکیل پیوندهای هیدروژنی بیشتر با آب و افزایش را داشته باشند. [۲۶]. علاوه بر این، حالیت فراکسیون های پروتئینی نامحلول موجود به شکل هیدرولیز مایع با سانتریفیوژ پس از هیدرولیز حذف شدن و بنابراین در پودر هیدرولیز لیوپلیز وجود ندارند. حالیت پروتئین سارکوپلاسمیک پس از 60 دقیقه انکوباسیون با پایانی، آلکالاز و فلاورزایم کاهش می یابد در حالی که حالیت پروتئین میوفیبریلار پس از 120 دقیقه انکوباسیون با پروتئازها همچنان افزایش یافت. نتایج نشان داد که وقتی DH هر دو تیمار MPH و SPH افزایش یافت، حالیت پروتئین افزایش یافت. با این حال، حالیت 100 درصد هرگز به دست نمی آید که تا حدی به برهمکنش پیتیدها و همچنین به وجود ساختارهای فشرده در پروتئین مربوط می شود که نمی توانند هیدرولیز شوند. حالیت یکی از مهمترین خواص پروتئین ها و هیدرولیزهای پروتئینی است. حالیت در درجه اول به توزیع اسیدهای آمینه آبگریز و آبدوست در سطح پروتئین و ترمودینامیک برهمکنش های پروتئین-آب بستگی دارد [۴۴]. هیدرولیز جزئی پروتئین ها اغلب برای بهبود حالیت پروتئین استفاده می شود. افزایش حالیت پروتئین میوفیبریلار دست نخورده ماهی با هیدرولیز آنژیمی، به دلیل اندازه کوچکتر پیتیدها و گروههای آمینو و کربوکسیل تازه در معرض قرار گرفته است که امکان تعامل بیشتر با آب و افزایش آب دوستی هیدرولیزها را فراهم می کند [۴۵ و ۴۶]. محتوای پیتید پروتئین سارکوپلاسمیک و میوفیبریلار و هیدرولیزهای آنها در جدول ۳ و ۴ نشان داده شده است. محتوای پیتیدs SPHs و MPHs با افزایش زمان انکوباسیون به طور قابل توجهی افزایش یافت ($p < 0.05$). محتوای پیتید پروتئین سارکوپلاسمیک و میوفیبریلار و هیدرولیزات آنها به ترتیب از

در یک زمان هیدرولیز معین، مقادیر DH مشاهده شده برای هیدرولیزهای پایانی به طور قابل توجهی بالاتر از مقادیر مشاهده شده برای تیمارهای آلکالاز و فلاورزایم بود ($p < 0.05$) (جدول ۳). بالاترین درصد DH ($82/4$ درصد) در میان SPH ها ناشی از 60 دقیقه انکوباسیون با پایانی بود. برای همه آنژیمها، مقادیر DH مشاهده شده پس از 60 دقیقه انکوباسیون کاهش یافت.

برای پروتئین میوفیبریلار در تمام آنژیمها، مقادیر DH با افزایش زمان هیدرولیز افزایش یافت (جدول ۴). در یک زمان هیدرولیز داده شده، مقادیر DH در هیدرولیز پایانی به طور قابل توجهی بالاتر از تیمارهای آلکالاز و فلاورزایم بود ($p < 0.05$). بالاترین درصد DH ($89/17$ درصد) برای هیدرولیز پروتئین میوفیبریلار با تیمار پایانی به مدت 120 دقیقه تولید شد.

با توجه به نتایج، هیدرولیز پروتئین زمانی ادامه می یابد که پیوندهای پیتیدی حساس در سوبسترا به داخل محل فعل آنژیم جایگزین شوند. هیدرولیز پروتئین زمانی حاصل می شود که پیوندهای پیتیدی که مستعد برش پروتولیتیک هستند در محل فعل آنژیم جابجا شوند [۴۱]. برای همه آنژیمها، مقادیر DH مشاهده شده پس از 60 دقیقه انکوباسیون کاهش یافت. روند هیدرولیزها مشابه آنهایی است که برای هیدرولیزهای پروتئینی از دانه های *P. vulgaris* و *P. lunatus* تیمار شده با آلکالاز مشاهده شد [۴۲]. کاهش سرعت واکنش را می توان با کاهش غلاظت پیوندهای پیتیدی موجود برای هیدرولیز، غیرفعال شدن آنژیم و/یا مهار آنژیم توسط محصولات تشکیل شده در درجه بالایی از هیدرولیز توضیح داد. این محصولات به عنوان رقبای سوبستراتی موثر برای پروتئین های ماهی هیدرولیز نشده یا نیمه هیدرولیز شده عمل می کنند. این داده ها نشان داد که سوبستراتی پروتئین ها، آنژیم های مورد استفاده برای پروتولیز، شرایط مورد استفاده در طول هیدرولیز و درجه هیدرولیز همگی می توانند بر فعالیت آنتی اکسیدانی نهایی تأثیر بگذارند [۴۳]. برای پروتئین میوفیبریلار در همه آنژیمها، مقادیر DH با افزایش زمان هیدرولیز افزایش یافت. بالاترین DH برای MPH با یک پایانی تولید شد. سطوح بالاتر DH توسط تیمار پایانی ممکن است به این دلیل باشد که آنژیم پایانی آنژیم موثرتری نسبت به آلکالاز و فلاورزایم برای تهیه هیدرولیزهای پروتئین پاتین است.

SDS-PAGE فراکشن پروتئین مولکولی بالای در پروفایل مشاهده نشد. همه هیدرولیزهای پروتئین سارکوپلاسمیک با باندهای مولکولی عمدتاً پایین به نمایش گذاشته شده از ۱۷/۴ تا ۲۹/۱ کیلو دالتون متغیر بودند و تفاوت زیادی در الگوی SDS-PAGE مشاهده نشد.

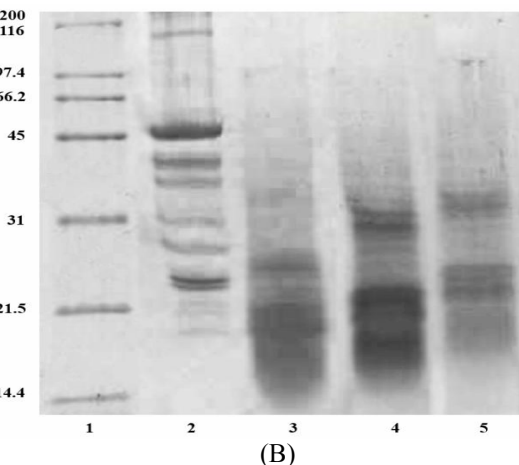
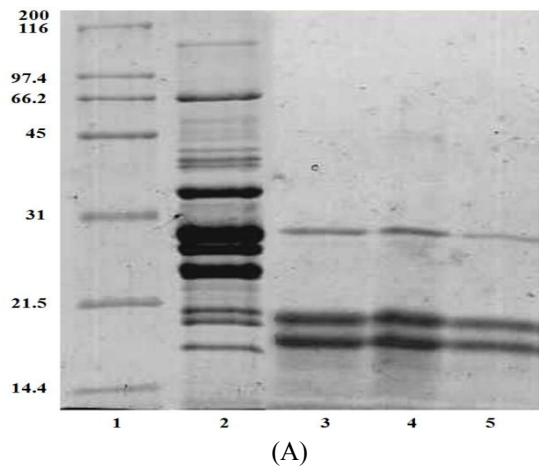


Fig 1 SDS-PAGE pattern of sarcoplasmic (A) and myofibrillar (B) proteins and of their hydrolysates obtained after 60 min and 120 min incubation, respectively.

In both SDS-PAGE profiles, lane 1 represents protein marker; lane 2, control (unhydrolyzed samples); lane 3, papain treated samples; lane 4, Alcalase treated samples and lane 5 shows samples treated with flavourzyme.

الکتروفورگرام SDS-PAGE نمونه های تیمار شده با آنزیم میوفیبریلار مانند هیدرولیزهای سارکوپلاسمیک بود (شکل ۱).

۱۸/۸ به ۲۰۴/۴ و از ۸۵/۴ به ۲۹۹/۱ میلی گرم در گرم افزایش یافت. پروتئینهای سارکوپلاسمیک پایهین و میوفیبریلار به ترتیب دارای بیشترین میزان پیتید (۱۹۷/۷ میلی گرم بر گرم) با DH ۷۳/۵۳ درصد و ۲۹۹/۱ میلی گرم بر گرم) با DH ۸۹/۱۷ درصد بودند. نتایج نشان داد که با افزایش زمان انکوباسیون، میزان پیتید هیدرولیزهای پروتئینی افزایش یافت. یک نتیجه مشابه از محتوای پیتید در یک بازه زمانی، ۲۷۲/۳ تا ۸۴/۲ میلی گرم در گرم در هیدرولیزهای پروتئین ماهیچه‌ای صدف آب شیرین (Corbicula fluminea, Muller) گزارش شد [۴۷]. روش سنجش پیشنهادی در این مطالعه برای اندازه‌گیری محتوای پیتید بر اساس واکنش (OPA) op-o-phthaldialdehyde (OPA) و β -مرکاپتوانول با آمین‌ها و پیتیدهای اولیه بود. با اجرای روش‌های اسپکتروفوتومتری، سنجش OPA قادر به اندازه‌گیری اسیدهای آمینه و هیدرولیز پیتیدهای N-acyl و تعیین دقیق تعداد پیوندهای پیتیدی آزاد شده در طول هیدرولیز یک سوبسترانی پروتئینی است.

۳-۵- تجزیه و تحلیل SDS-PAGE

SDS-PAGE یک تکنیک قدرتمند برای جداسازی پلیپیتیدها در مقیاس کوچک و برای تعیین وزن مولکولی به این مولکولها است. روش توصیف شده توسط Laemmli [۴۸] نمی‌تواند پلیپیتیدهایی با جرم کمتر از ۱۵ کیلو دالتون را جدا کند. متداول‌ترین تکنیک استفاده شده یک روش توسعه یافته توسط Von Jagow و Schagger غلظت بالا و ترکیب مواد برای جداسازی پلیمرهای با وزن مولکولی پایین است.

الکتروفورگرام‌های نماینده SDS-PAGE هیدرولیزهای پروتئین سارکوپلاسمیک و میوفیبریلار *P.sutchi* در یک سیستم ژل تریس-تریسین حاوی SDS در شکل ۱ (A,B) نشان داده شده است.

همانطور که در خط ۲ نشان داده شده است، فراکشن سارکوپلاسمیک هیدرولیز نشده پروتئینهای با وزن مولکولی بالا و پایین را نشان می‌دهد، در حالی که الگوی هیدرولیز نمونه های تیمار شده با آنزیم سارکوپلاسمیک (خط ۳، ۴ و ۵) متفاوت بود (شکل ۱A). پس از ۶۰ دقیقه انکوباسیون با پروتئازها، هیچ

- in Biotechnology* 18: 1-7.
- [2] Chabanon, G., Chevalot, I., Framboisier, X., Chenu, S. & Marc, I. 2007. Hydrolysis of rapeseed protein isolates: kinetics, Characterization and Functional Properties of Hydrolysates. *Process Biochemistry* 42: 1419-1428.
- [3] Pazinatto, C., Malta, L.G., Pastore, G.M. & Maria Netto, F. 2013. Antioxidant capacity of amaranth products: effects of thermal and enzymatic treatments. *Food Science and Technology* 33: 485-493.
- [4] Polanco-Lugo, E., Dávila-Ortiz, G., Betancur-Ancona, D. A. & Chel-Guerrero, L. A. 2014. Effects of sequential enzymatic hydrolysis on structural, bioactive and functional properties of Phaseolus lunatus protein isolate. *Food Science and Technology* 34: 441-448.
- [5] Yathisha, U. G., Vaidya, S., & Sheshappa, M. B. 2022. Functional Properties of Protein Hydrolyzate from Ribbon Fish (*Lepturacanthus Savala*) as Prepared by Enzymatic hydrolysis, *International Journal of Food Properties*, 25 (1): 187-203.
- [6] Ucak, I.; Afreen, M., Montesano, D., Carrillo, C.; Tomasevic, I., Simal-Gandara, J. & Barba, F. J. 2021. Functional and Bioactive Properties of Peptides Derived from Marine Side Streams. *Marine Drugs* 19: 71.
- [7] Hemker, A. K., Nguyen, L. T., Karwe, M. & Salvi, D. 2020. Effects of Pressure-assisted Enzymatic Hydrolysis on Functional and Bioactive Properties of Tilapia (*Oreochromis niloticus*) By-product Protein Hydrolysates. *LWT-Food Science and Technology* 122: 109003.
- [8] Wouters, A. G. B., Rombouts, I., Fierens, E., Brijs, K. & Delcour, J. A. 2016. Relevance of the Functional Properties of Enzymatic Plant Protein Hydrolysates in Food Systems. *Comprehensive Reviews in Food Science and Food Safety* 15: 786-800.
- [9] Shahidi, F. & Zhong, Y. 2008. Bioactive Peptides. *Journal of AOAC International* 9: 914-931.
- [10] Leni, G., Soetemans, L., Caligiani, A., Sforza, S. & Bastiaens, L. 2020. Degree of Hydrolysis Affects the Techno-functional Properties of Lesser Mealworm Protein Hydrolysates. *Foods* 9: 381.
- [11] Xu, Y., Galanopoulos, M., Sismour, E., Ren,

الگوهای هیدرولیز نمونه‌های میوفیریلار پایانی تقریباً مشابه الگوی آلکالاز و فلاورزایم با حضور پروتئین‌هایی با وزن‌های مولکولی از ۱۶/۵ تا ۲۷/۱ کیلو دالتون برای پایانی، ۱۷/۲-۳۲/۷ کیلو دالتون برای آلکالاز و ۱۸/۲-۳۴/۴ بعد از تیمار فلاورزایم بود (خط ۳، ۴ و ۵، شکل B1). در حالی که، فراکشن میوفیریلار هیدرولیز نشده پروتئین‌هایی با وزن مولکولی بالا و پایین را نشان داد. الگوی هیدرولیز نمونه پروتئین میوفیریلار *P. sutchi* دهنده هیدرولیز بیش از حد با پایانی، آلکالاز و فلاورزایم پس از ۱۲۰ دقیقه توسط DH بیش از ۸۰ درصد است (جدول ۴). نتایج به وضوح نشان می‌دهد که آنزیم‌های پایانی، آلکالاز و فلاورزایم قادر به هیدرولیز پروتئین‌ها و به ویژه پروتئین‌های سارکوپلاسمیک و میوفیریلار حتی با وزن مولکولی بالا هستند.

۴- نتیجه گیری

در این مطالعه پروتئین‌های سارکوپلاسمیک و میوفیریلار استخراج و هیدرولیزات از *P. sutchi* با استفاده از آنزیم‌های پایانی، آلکالاز و فلاورزایم تهیه شد. نتایج به وضوح نشان می‌دهد که نوع آنزیم و میزان DH بر ترکیب باقی مانده اسید آمینه و وزن مولکولی هیدرولیزهای پروتئین سارکوپلاسمیک و میوفیریلار تأثیر زیادی دارد. محتوای پپتید و پروتئین محلول هیدرولیزهای پروتئین‌های سارکوپلاسمیک و میوفیریلار به طور قابل توجهی با افزایش زمان انکوباسیون افزایش یافت. ترکیب اسید آمینه متفاوت در پروتئین‌های سارکوپلاسمیک و میوفیریلار و هیدرولیزهای آنها مشاهده شد. برای SPH ها، آلکالاز-SPH بالاترین اسیدهای آمینه آروماتیک و آبگریز را نشان داد در حالی که برای MPH ها، پایانی MPH- بالاترین اسیدهای آمینه آروماتیک و آبگریز را داشت. با توجه به الکتروگرام- SDS-PAGE ، آنزیم‌های پایانی، آلکالاز و فلاورزایم قادر به هیدرولیز پروتئین‌ها و کاهش وزن مولکولی پروتئین‌های سارکوپلاسمیک و میوفیریلار شدند.

۵- منابع

- [1] Hartmann, R. & Meisel, H. 2007. Food-derived peptides with biological activity: From research to food applications. *Current Opinion*

- Corp., Milford, MA.
- [23] Thiansilakul, Y, Benjakul, S. & Shahidi, F. 2007a. Antioxidative activity of protein hydrolysate from round scad muscle using alcalase and flavourzyme. *Journal of Food Biochemistry* 31: 266-287.
- [24] Hoyle, N. T. & Merritt, J. H. 1994. Quality of fish protein hydrolysate from herring (*Clupea harengus*). *Food Science* 59: 76-79.
- [25] Lowry, O. H., Rosebrough, N. J., Farr, A. L. & Randall, R. J. 1951. Protein measurement with the Folin phenol reagent. *Journal of Biology and Chemistry* 193: 265-75.
- [26] Church, F. C., Swaisgood, H. E., Porter, D. H., & Catignani, G. L. 1983. Spectrophotometric assay using o-phthaldialdehyde for determination of proteolysis in milk and isolated milk proteins. *Journal of Dairy Science* 66: 1219-1227.
- [27] Huang, P H, Chen, J. Y. & Kuo, C. M. 2007. Three different hepcidins from tilapia, *Oreochromis mossambicus*: Analysis of their expressions and biological functions. *Molecular Immunology* 44:1922-1934.
- [28] Schagger, H. & Von Jagow, G. 1987. Tricine-sodium dodecyl sulfatepolyacrylamide gel electrophoresis for the separation of proteins in the range from 1 to 100 kDa. *Analytical Biochemistry* 166: 368-379.
- [29] Srikantha, A., Dhanapal, K., Sravani, K. & Madhavi, K. 2017. Praveen kumar GA. Study on Optimization of Fish Protein Hydrolysate Preparation by Enzymatic Hydrolysis from Tilapia Fish Waste Mince. *International Journal of Current Microbiology and Applied Sciences* 6 (12): 3220-3229.
- [30] Amiza, M. A., Ow, Y. W. & Faazaz, A. L. 2013. Physicochemical Properties of silver catfish (*Pangasius sp*) Frame Hydrolysate. *International Food Research Journal* 20(3): 1255-1262.
- [31] Kristinsson, H. G. & Rasco, B. A. 2000. Fish protein hydrolysates: production, biochemical, and functional properties. *Critical Reviews in Food Science and Nutrition* 40: 43-81
- [32] Alemán, A., Giménez, B., Monter, O. P. & Gómez-Guillén, M. C. 2012. Antioxidant activity of several marine skin gelatine. *LWT-Food Science and Technology* 44: 407-413.
- [33] Pacheco-Aguilar, R., Mazorra-Manzano, M. A. & Ramirez-Suarez, J. C. 2008. Functional S., Mersha, Z., Lynch, P. & Almutaimi, A. 2020. Effect of Enzymatic Hydrolysis Using Endo- and Exo-proteases on Secondary Structure, Functional, and Antioxidant Properties of Chickpea Protein Hydrolysates. *Journal of Food Measurment and Characterization* 14: 343-352.
- [12] Whitaker, J. R. 2003. *Proteolytic Enzymes*. In: *Handbook of Food Enzymology*, JR Whitaker, AGJ Voragen, DWS Wong, Eds., Marcel Dekker, Inc., New York.
- [13] Adler-Nissen, J. 1986. *Enzymatic Hydrolysis of Food Proteins*, Elsevier Applied Science Publisher Ltd., England.
- [14] Greco Lorenzo, V. & Bronu Marco, N. 2008. *Food Science and Technology: New Research*. New York: Nova Science Publishers, Inc.
- [15] Fisheries Dept, Malaysian Fisheries Department, Official Homepage 2010.
- [16] Mat Jais, A. M., Dambisya, Y. M. & Lee, T. L. 1997. Antinociceptive Activity of Channa striatus (Haruan), Extracts in Mice. *Journal of Ethnopharmacol* 57: 125- 130.
- [17] MolinA I, Toldra F. Detection of proteolytic activity in microorganisms isolated from dry cured ham. *J Food Sci* 1992; 61: 1308-1310.
- [18] Hultin HO, Kelleher SD, High efficiency alkaline protein extraction. US Patent 2000 6136,959.
- [19] You, L., Zhao, M., Cui, C., Zhao, H. & Yang, B. 2009. Effect of degree of hydrolysis on the antioxidant activity of loach (*Misgurnus anguillicaudatus*) protein hydrolysates. *Innovative Food and Emerging Technologies* 10: 235-240.
- [20] AOAC. 2005. *Official methods of analysis*. In: *Methods* 950.46 (39.1.02), 900.02A (38.1.04), 992.15 (39.1.16) and 960.39 (39.1.05), 18th edn (edited by W. Horwitz). Gaithersburg MD: Aoac Intl.
- [21] Alaiz, M., Navarro, J. L., Girón, J. & Vioque, E. 1992. Amino acid analysis by high performance liquid chromatography after derivatization with diethyl ethoxymethylenemalonate. *Journal of Chromatography* 591: 181-186.
- [22] Cohen, S. A., Meys, M. & Tarvin, T. L. 1988. *The PicoTag Method. A Manual of Advanced Techniques for Amino Acid Analysis*. Waters Chromatography Division, Millipore

- Martinez-Ayala, A., Davila-Ortiz, G. & Betancur-Anconab, D. 2009. Angiotensin-I converting enzyme inhibitory and antioxidant activities of protein hydrolysates from Phaseolus lunatus and Phaseolus vulgaris seeds. *LWT-Food Science and Technology* 42: 1597-1604.
- [43] Balti, R., Bougatef, A., Hadj Ali, N. E., Ktari, N., Jellouli, K., Nedjar-Arroume, N., Dhuister, P. & Nasri, M. 2011. Comparative Study on Biochemical Properties and Antioxidative Activity of Cuttlefish (*Sepia officinalis*) Protein Hydrolysate Produced by Alcalase and Bacillus licheniformis NH1 Proteases. *Journal of Amino Acids Article ID* 107179, 11 pages.
- [44] Gbogouri, G. A., Linder, M., Fanni, J. & Parmentier, M. 2004. Influence of hydrolysis degree on the functional properties of salmon byproducts hydrolysates. *Journal of Food Chemistry and Toxicology* 69: 615-622.
- [45] Tang, S., Zhou, X., Gouda, M., Cai, Z. & Jin, Y. 2019. Effect of Enzymatic Hydrolysis on the Solubility of Egg Yolk Powder from the Changes in Structure and Functional Properties. *LWT-Food Science and Technology* 110: 214-222.
- [46] Alahmad, K., Xia, W., Jiang, Q., & Xu, Y. 2022. Effect of the Degree of Hydrolysis on Nutritional, Functional, and Morphological Characteristics of Protein Hydrolysate Produced from Bighead Carp (*Hypophthalmichthys nobilis*) Using Ficin Enzyme. *Foods* 11: 1-17.
- [47] Tsai, J. S., Lin, T. C., Chen, J. L. & Pan, B. S. 2006. The inhibitory effects of freshwater clam (*Corbicula fluminea*, Muller) muscle protein hydrolysates on angiotensin I converting enzyme. *Process Biochemistry* 41(11): 2276-2281.
- [48] Laemmli, U. K. 1970. Cleavage of structural proteins during the assembly of the head of bacteriophage T4. *Journal of Nature* 227: 680-685.
- properties of fish protein hydrolysates from Pacific whiting (*Merluccius productus*) muscle produced by a commercial protease. *Food Chemistry* 109: 782-789.
- [34] Suthasinee, N., Sittiwat, L., Manop, S. & Apinya, A. 2005. Optimization of enzymatic hydrolysis of fish soluble concentrate by commercial proteases. *Journal of Food Engineering* 70(4): 571-578.
- [35] Choi, Y. J., Hur, S., Choi, B. D., Konno, K. & Park, J. W. 2007. Enzymatic hydrolysis of recovered protein from frozen small croaker and functional properties of its hydrolysates. *Journal of Food Science* 74 (1): C17-C24.
- [36] Souissi, N., Bougatef, A., Triki-Ellouz, Y. & Nasri, M. 2007. Biochemical and functional properties of sardinella (*Sardinella aurita*) by-product hydrolysates. *Food Technology and Biotechnology* 45(2): 187-194.
- [37] Rebeca, B. D., Pena-Vera, M. T. & Diaz-Castaneda, M. 1991. Production of fish protein hydrolysates with bacterial proteases; yield and nutritional value. *Journal of Food Science* 56: 309-314.
- [38] Rao, M. B., Tanksale, A. M., Gathe, M. S. & Deshpande, V. V. 1998. Molecular and biotechnological aspects of microbial proteases. *Microbiology Molecular Biology Reviews* 62(3):597-635.
- [39] Najafian, L. & Babji, A. S. 2018. Fractionation and identification of novel antioxidant peptides from fermented fish (Pekasam). *Journal of Food Measurement and Charactrization* 12 (3): 2174-2183.
- [40] Kimmel JR, Smith E. L. Crystalline papain. I. Preparation, specificity, and activation. *J Biol Chem* 1954; 207: 515-30.
- [41] Aluko, R. E. 2018. Food protein-derived peptides: Production, isolation, and purification. *Proteins in Food Processing* 389-412.
- [42] Torruco-Uco, J., Chel-Guerrero, L.,



Comparative Study on Physicochemical Properties of Catfish Sarcoplasmic and Myofibrillar Protein Hydrolysates Produced by Enzymatic Hydrolysis Enzymatic Hydrolysis of Catfish Proteins

Najafian, L.^{1*}

1. Department of Food Science and Technology, Sari Branch, Islamic Azad University, Sari, Iran.

ABSTRACT

The present work aimed to study the effect of enzymatic hydrolysis of sarcoplasmic and myofibrillar proteins from *pangasius sutchi* fish on the chemical compositions, the solubility, degree of hydrolysis (DH), peptide content and amino acid compositions was evaluated and their molecular weight recorded. The fish sarcoplasmic protein hydrolysates (SPHs) and myofibrillar protein hydrolysates (MPHs) were produced using three types of proteases: papain, alcalase and flavourzyme. Physicochemical properties of proteins and molecular weight were investigated. Results indicated that type of protease affected the degree of hydrolysis (DH), where all of the enzymes showed high rate of hydrolysis during the first hour, and then gradually decreased. The type of enzyme and the extent of the DH greatly influenced the amino acid residue composition and the molecular weight of the protein hydrolysates. Different amino acid composition of proteins and their hydrolysates was observed. The soluble protein and peptide content of hydrolysates significantly increased by the increase in time of incubation. The high amount of hydrophobic and aromatic amino acids in the SPH and MPH can enhance the biological activities of the peptides. Results suggest that the protein hydrolysates derived from patin may be used in functional food and supplements.

ARTICLE INFO

Article History:

Received 2022/ 08/ 05

Accepted 2022/ 10/ 09

Keywords:

Amino acid compositions,
Enzymatic hydrolysis,
Molecular weight,
Sarcoplasmic and myofibrillar
proteins,
Solubility.

DOI: 10.22034/FSCT.19.130.213

DOR: 20.1001.1.20088787.1401.19.130.18.7

*Corresponding Author E-Mail:
najafian_5828@yahoo.com